

(19) 日本国特許庁(JP)

(12) 特許公報(B2)

(11) 特許番号

特許第3880356号

(P3880356)

(45) 発行日 平成19年2月14日(2007.2.14)

(24) 登録日 平成18年11月17日(2006.11.17)

(51) Int. Cl.	F I	
<b>H05B 33/02</b>	<b>(2006.01)</b>	H05B 33/02
<b>G09F 9/30</b>	<b>(2006.01)</b>	G09F 9/30 338
<b>H01L 27/32</b>	<b>(2006.01)</b>	G09F 9/30 365Z
<b>H05B 33/04</b>	<b>(2006.01)</b>	H05B 33/04
<b>H01L 51/50</b>	<b>(2006.01)</b>	H05B 33/14 A
請求項の数 12 (全 20 頁) 最終頁に続く		

(21) 出願番号	特願2001-306539 (P2001-306539)	(73) 特許権者	000001007
(22) 出願日	平成13年10月2日(2001.10.2)		キヤノン株式会社
(65) 公開番号	特開2003-77649 (P2003-77649A)		東京都大田区下丸子3丁目30番2号
(43) 公開日	平成15年3月14日(2003.3.14)	(74) 代理人	100090538
審査請求日	平成16年8月24日(2004.8.24)		弁理士 西山 恵三
(31) 優先権主張番号	特願2000-370647 (P2000-370647)	(74) 代理人	100096965
(32) 優先日	平成12年12月5日(2000.12.5)		弁理士 内尾 裕一
(33) 優先権主張国	日本国(JP)	(72) 発明者	望月 則孝
(31) 優先権主張番号	特願2000-398283 (P2000-398283)		東京都大田区下丸子3丁目30番2号キヤノン株式会社内
(32) 優先日	平成12年12月27日(2000.12.27)	(72) 発明者	桜永 昌徳
(33) 優先権主張国	日本国(JP)		東京都大田区下丸子3丁目30番2号キヤノン株式会社内
(31) 優先権主張番号	特願2001-62055 (P2001-62055)		
(32) 優先日	平成13年3月6日(2001.3.6)		
(33) 優先権主張国	日本国(JP)		
最終頁に続く			

(54) 【発明の名称】 表示装置

(57) 【特許請求の範囲】

【請求項1】

透明基板上に堆積した透明電極と、前記透明電極上に積層した電界発光(EL)層と、前記電界発光層上に積層した反射電極とを含むEL素子の配列と、前記EL素子の各々を被覆する角錐台形状又は円錐台形状の透明体と、前記透明体の表面に堆積された反射膜とを含み、前記EL素子を画像信号に応じて発光させることを特徴とする表示装置。

【請求項2】

透明基板上に堆積した透明電極と、前記透明電極上に積層した電界発光(EL)層と、前記電界発光層上に積層した反射電極とを含むEL素子の配列と、前記EL素子の各々を被覆する透明体と、前記透明体の表面に堆積された反射膜とを含み、前記透明基板とEL素子を画像信号に応じて発光させる表示装置であって、前記透明体の一部の表面の曲率は正であり、前記透明基板と接触する部分の曲率は負であることを特徴とする表示装置。

【請求項3】

前記透明体による凹面鏡の焦平面を前記EL素子内部に位置させることを特徴とする請求項2記載の表示装置。

【請求項4】

前記EL素子毎にそのEL素子を発光させる駆動素子を更に含み、前記EL素子及び前記

駆動素子とを前記透明体によって被覆することを特徴とする請求項 1 又は 2 記載の表示素子。

【請求項 5】

前記透明体の間を埋める絶縁物質と、前記絶縁物質上に形成された配線とを更に備え、前記配線を、前記 E L 素子の反射電極及び透明電極に接続することを特徴とする請求項 1 又は 2 記載の表示素子。

【請求項 6】

前記透明体の間を埋める絶縁物質と、前記絶縁物質上に形成された配線とを更に備え、前記配線を、前記駆動素子に接続することを特徴とする請求項 4 記載の表示素子。

【請求項 7】

前記透明基板と前記透明電極との間に、シリカエアロゲル層を形成することを特徴とする請求項 1 又は 2 記載の表示装置。

10

【請求項 8】

前記透明基板と前記透明電極との間にハーフミラーを設け、前記ハーフミラーと前記反射電極との間の光路長を発光波長と等しくすることを特徴とする請求項 1 又は 2 記載の表示装置。

【請求項 9】

前記透明基板と前記透明電極との間にハーフミラーを設け、前記ハーフミラーと前記反射電極との間の光路長を発光波長の  $1/2$  の整数倍とすることを特徴とする請求項 1 又は 2 記載の表示装置。

20

【請求項 10】

前記反射電極と前記 E L との間に光吸収層を設け、前記光吸収層の屈折率は、前記 E L 層の屈折率より低いことを特徴とする請求項 1 又は 2 記載の表示装置。

【請求項 11】

前記 E L 層上に電子輸送層を設け、更に前記電子輸送層上に光吸収層を設けて前記反射電極に接触させ、前記光吸収層の屈折率は、前記電子輸送層の屈折率より低いことを特徴とする請求項 1 又は 2 記載の表示装置。

【請求項 12】

前記透明基板と前記透明電極との間に、エアギャップを設けたことを特徴とする請求項 1 又は 2 記載の表示装置。

30

【発明の詳細な説明】

【0001】

【発明の属する技術分野】

本発明は、表示装置に関し、特に、表示画素である電界発光 (E L) 素子から発光された光を高い効率で外部に取り出すことができる表示装置に関する。

【0002】

【従来の技術】

従来、同一の基板の上に複数の E L 素子を 2 次元に配列した表示装置が知られている。この表示装置において、おのおのの E L 素子から発光された全光量のうち外部に取り出すことができる光量の比率はそれほど大きくなかった。

40

【0003】

このような従来の E L 素子の基本構造を図 25 に概略断面図として示す。図 25 において、E L 素子 600 は、透明基板 550 上に、透明電極 520、電界発光 (E L) 層 510 及び反射電極 500 をこの順に積層することによって形成されている。図 25 に示す E L 素子において、E L 層 510 から発した光は、透明基板 550 と透明電極 520 との境界 B1、及び透明基板 550 と空気との境界 B2 で全反射する。ここで、たとえば、透明電極 520 の屈折率を 1.8、透明基板 550 の屈折率を 1.5 とすると、境界 B1 における全反射のために E L 素子 600 内に閉じ込められる光量は、全発光光量の約 51% とな

50

る。一方、境界 B 2 における全反射のために E L 素子 6 0 0 内に閉じ込められる光量は、全発光光量の約 3 2 % である。従って、透明基板 5 5 0 から外部に取り出すことができる光量は、全発光光量の約 1 7 % に過ぎなかった。

【 0 0 0 4 】

一方、上述した基本構造に、断面が台形状の透明体を付加して、光の取り出し効率を高めた E L 素子が、オプティクス・レターズ (Optics Letters), March 15 (1997) pp.396-398 に開示されている。図 1 6 は、この E L 素子を示す概略断面図である。図 1 6 において、図 2 5 と同一の部材には同一の符号を付した。

【 0 0 0 5 】

図 1 6 において、E L 素子 6 0 0 は、E L 層 5 1 0 が反射電極 5 0 0 と透明電極 5 2 0 とでサンドイッチされたサンドイッチ構造から成る。この E L 素子 6 0 0 は、断面が台形状の透明体 5 4 0 上に積層されており、透明体 5 4 0 は透明基板 5 5 0 上に形成されている。このような E L 素子を 2 次元表示装置に応用する場合には、透明体 5 4 0 の形状は、たとえば、四角錐台に形成される。そして、透明体 5 4 0 の斜面には反射膜 1 3 0 が形成されている。

10

【 0 0 0 6 】

図 1 6 に示す構成において、透明体 5 4 0 の屈折率を透明電極の屈折率より大きくすれば、境界 1 で全反射は起こらない。一方、透明基板 5 5 0 と空気の境界 2 で全反射が生じてもその全反射光  $I_2$  は反射膜 5 3 0 で反射されて、透明基板 5 5 0 の外部すなわち空気側に取り出される。又、透明体 5 4 0 と透明基板 5 5 0 との境界 3 で全反射が生じても、その全反射光  $I_3$  は反射膜 5 3 0 で反射されて、透明基板 5 5 0 の外部に取り出される。尤も、E L 層 5 1 0 から発し、透明電極 5 2 0 を透過して直接に反射膜 5 3 0 に当たる光が空気側に出ていくことは当然である。このようにして、E L 層 5 1 0 から発した光を、より効率的に外部に取り出すことができる。

20

【 0 0 0 7 】

【 発明が解決しようとする課題 】

しかし、上述した従来技術において、透明体 5 4 0 の斜面上の反射膜 5 3 0 が金属から成る場合には、透明電極 5 2 0 や反射電極 5 0 0 に接触しないように形成しなくてはならず、反射膜の形成は容易ではなかった。また、図 1 6 では図示していないが、E L 素子 6 0 0 の寿命を延ばすためには、E L 層 5 1 0 を含むサンドイッチ構造を、外気に触れることがないように保護膜で覆う必要があった。図 1 6 の E L 素子では、このような保護膜を透明体 5 4 0 とは別個に作成しなくてはならず、製造工程が多くコストダウンの障害となっていた。

30

【 0 0 0 8 】

本発明の目的は、上記従来技術の問題点を解決し、安価に製造することができ、且つ、E L 層で発光した光を高い効率で外部に取り出すことのできる表示装置を提供することにある。

【 0 0 0 9 】

【 課題を解決するための手段 】

上記の課題を解決するための本発明は、透明基板上に堆積した透明電極と前記透明電極上に積層した電界発光 (E L) 層と、前記電界発光層上に積層した反射電極とを含む E L 素子の配列と、前記 E L 素子の各々を被覆する角錐台形状又は円錐台形状の透明体と、前記透明体の表面に堆積された反射膜とを含み、前記 E L 素子を画像信号に応じて発光させるようにしている。

40

【 0 0 1 0 】

本発明において、E L 層を保護する透明体は、前記透明体の一部の表面の曲率は正であり、前記透明基板と接触する部分の曲率は負であってもよい。

【 0 0 1 1 】

又、透明体が球体の一部である場合には、前記透明体による凹面鏡の焦平面を前記 E L 素子内部に位置させてもよい。

50

## 【 0 0 1 2 】

又、前記 E L 素子毎にその E L 素子を発光させる駆動素子を更に含み、前記 E L 素子及び前記駆動素子とを前記透明体によって被覆してもよい。

## 【 0 0 1 3 】

又、前記透明体の間を埋める絶縁物質と、前記絶縁物質上に形成された配線とを更に備え、前記配線を、前記 E L 素子の反射電極及び透明電極に接続してもよい。

## 【 0 0 1 4 】

又、前記透明体の間を埋める絶縁物質と、前記絶縁物質上に形成された配線とを更に備え、前記配線を、前記駆動素子に接続してもよい。

## 【 0 0 1 5 】

## 【 発明の実施の形態 】

以下、図面を参照して本発明の実施の形態について説明する。

## 【 0 0 1 6 】

図 1 は本発明の第 1 実施形態の表示装置において、1 画素を構成する電界発光 ( E L ) 素子を示す概略断面図である。図 1 において、E L 素子 3 0 0 は、透明基板 1 5 0 上に、透明電極 1 2 0、電界発光 ( E L ) 層 1 1 0 及び反射電極 1 0 0 をこの順に積層することによって形成されている。更に、透明基板 1 5 0 上には、E L 素子 3 0 0 を被覆するように、断面が台形状の透明体 1 4 0 が形成されている。つまり、この透明体 1 4 0 によって、E L 素子 3 0 0 が外気から保護されている。また、透明体 1 4 0 の表面全体を被覆するように反射膜 1 3 0 が形成されている。

## 【 0 0 1 7 】

図 1 の E L 素子において、反射電極 1 0 0 と透明電極 1 2 0 との間に電圧を印加すると E L 層 1 1 0 が発光する。E L 層 1 1 0 から発した光は、透明電極 1 2 0 及び透明基板 1 5 0 を透過して外部に取り出される。

## 【 0 0 1 8 】

一方、E L 層 1 1 0 から発した光の一部は、透明電極 1 2 0 と透明基板 1 5 0 との境界 B 1 で全反射される。この全反射光は反射膜 1 3 0 で反射され、透明基板 1 5 0 を透過して空気中に取り出される。この全反射光は、反射膜 1 3 0 で反射された後、境界 B 1 及び B 2 で屈折されるが、簡単のために、図 1 では直進するように描いている。

## 【 0 0 1 9 】

又、E L 層 1 1 0 から発した光の他の一部は、境界 B 1 で屈折され透明基板 1 5 0 と空気との境界 B 2 で全反射される。しかし、この全反射光も反射膜 1 3 0 で反射され、透明基板 1 5 0 を透過して空気中に取り出される。このようにして、E L 素子 3 0 0 から発した光が効率良く外部に取り出される。

## 【 0 0 2 0 】

図 1 では 1 つの E L 素子のみを示したが、表示装置においては、このような E L 素子が複数個、2 次元配置されている。このように E L 素子が 2 次元配置される場合には、透明体 1 4 0 は例えば四角錐台に形成される。

## 【 0 0 2 1 】

次に、上記のような E L 素子の製造工程を図 2 を用いて説明する。図 2 は、透明基板上に複数の E L 素子が形成された表示装置の概略断面図である。

## 【 0 0 2 2 】

まず、図 2 ( a ) に示すように、ガラスやプラスチック等から成る透明基板 1 5 0 上に、ITO 等から成る透明電極 1 2 0、有機又は無機材料から成る E L 層 1 1 0、金属膜から成る反射電極 1 0 0 をこの順に積層する。

## 【 0 0 2 3 】

次に、素子を形成する箇所を除いて前記電極及び E L 層をパターンエッチングによって除去し、図 2 ( b ) に示すような E L 素子 3 0 0 の配列を形成する。そして、これらの E L 素子 3 0 0 を覆うように酸化チタン等から成る透明層 1 4 0 a を形成する。

## 【 0 0 2 4 】

10

20

30

40

50

続いて、透明層 140a をパターンエッチングによって部分的に除去し、図 2(c) に示すような斜面 145 を有する複数の透明体 140 を形成する。各透明体 140 は、それぞれ EL 素子 300 を被覆するように形成される。

【0025】

そして、最後に、図 2(d) に示すように、金属膜又は誘電体膜から成る反射膜 130 を透明基板 150 の全面に堆積させる。以上のようにして、透明基板上に複数の EL 素子 300 を配列した表示装置が製造される。

【0026】

図 3 は本発明の第 2 実施形態の表示装置において、1 画素を構成する電界発光 (EL) 素子を示す概略断面図である。本実施形態は、透明体 140 の斜面にのみ反射膜 130 が形成され、透明体 140 の上面 141 には反射膜が形成されていない点でのみ第 1 実施形態と相違し、その他の構成は第 1 実施形態と同一である。このため、図 3 において図 1 と同一の部材には同一の符号を付し、詳細な説明は省略する。

10

【0027】

本実施形態においても、EL 層 110 から発した光の一部は、透明電極 120 と透明基板 150 との境界 B1 で全反射される。この全反射光は反射膜 130 で反射され、透明基板 150 を透過して空気中に取り出される。この全反射光は、反射膜 130 で反射された後、境界 B1 及び B2 で屈折されるが、簡単のために、図 3 では直進するように描いている。また、本実施形態においては、透明体 140 の上面 141 に反射膜が形成されていないので、第 1 実施形態に対して、発光に伴って発生した熱の放熱が促進される、という効果を有する。

20

【0028】

上記第 2 実施形態の表示装置は、第 1 実施形態と同様に図 2 で説明した工程で作製された後、図 2(d) のように透明体 140 の表面全体に堆積された反射膜のうち、フォトリソグラフィで上面 141 上の反射膜を除去することによって得られる。

【0029】

図 4 は本発明の第 3 実施形態の表示装置を示す図である。図 4 において、(a) は概略平面図を、(b) は (a) に記載した線分 X-X' に沿った概略断面図をそれぞれ示す。図 4 において、図 1 ~ 図 3 と同一の部材には同一の符号を付し、詳細な説明は省略する。

【0030】

本実施形態においては、各 EL 素子 300 及びこれを駆動する TFT 等の駆動素子 400 がそれぞれ透明体 140 によって被覆されている。但し、簡単のために、EL 素子 300 及び TFT 等の駆動素子 400 との間の配線は図示していない。各透明体 140 は、それぞれ上面 141 を有する四角錐台の形状を有し、その断面は台形である。図 4 では図示していないが、これらの透明体 140 の表面は図 1 あるいは図 3 のような反射膜で被覆されている。

30

【0031】

本実施形態においては、上記のように反射膜で被覆された複数の透明体 140 の隙間が絶縁体 800 によって充填されている。そして、絶縁体 800 上には、行方向配線 900 及び列方向配線 700 が形成されている。各 EL 素子 300 に接続された駆動素子 400 は、引き出し配線 701 を介して列方向配線 700 に接続されている。引き出し配線 701 と列方向配線 700 とは、絶縁体 800 に形成されたスルーホール 702 を通して接続されている。また、同様に各 EL 素子 300 に接続された駆動素子 400 は、引き出し配線 901 を介して行方向配線 900 に接続されている。このような構成によって、本実施形態の表示装置においては、EL 素子 300 を 2 次元表示画面の画素として発光させるものである。

40

【0032】

なお、図 4 においては、EL 素子 300 を駆動素子 400 を介して列方向配線 700 及び行方向配線 900 に接続したが、駆動素子 400 を介さず直接これらの配線と接続するようにしても良い。又、これまでの説明においては、透明体を四角錐台として説明したが、

50

透明体は円錐台であってもよい。更に、透明体は球体の一部を構成するように形成されてもよい。

【0033】

図5は本発明の第4実施形態の表示装置において、1画素を構成する電界発光(EL)素子を示す概略断面図である。図5において図1と同一の部材には同一の符号を付し、詳細な説明は省略する。

【0034】

本実施形態は、透明体340が球体の一部を構成するように形成された例を示すものである。具体的には、透明体340の頂上部は正曲率の球体の一部であり、透明基板150と接する裾の部分は負曲率の斜面となっている。つまり、透明体340は頂上部で凸曲面、裾部で凹曲面を有している。この透明体340の表面は反射膜330で被覆されている。この反射膜330は、EL素子300に対して凹面鏡として機能するものである。

10

【0035】

本実施形態のような透明体340は、たとえば高温で溶融したプラスチックの液滴をEL素子300上に滴下し、固化することによって形成される。このとき、裾部の傾斜は、透明基板150と液滴である透明体340の接触角によって定まる。また、裾部の傾斜は、固化する前に球体の頂上を押圧して制御することもできる。

【0036】

図5のEL素子において、反射電極100と透明電極120との間に電圧を印加するとEL層110が発光する。EL層110から発した光は、透明電極120及び透明基板150を透過して外部に取り出される。

20

【0037】

一方、EL層110から発した光の一部は、透明電極120と透明基板150との境界B1で全反射される。この全反射光は反射膜330で反射され、透明基板150を透過して空気中に取り出される。この全反射光は、反射膜330で反射された後、境界B1及びB2で屈折されるが、簡単のために、図5では直進するように描いている。

【0038】

又、EL層110から発した光の他の一部は、境界B1で屈折され透明基板150と空気との境界B2で全反射される。しかし、この全反射光も反射膜330で反射され、透明基板150を透過して空気中に取り出される。

30

【0039】

ここで、透明体340の頂上部Sには光は殆ど到達しない。EL素子300の端面にほぼ垂直に進行する光は境界B1で全反射されずに透明基板150を透過し、空気側に取り出されている。従って、頂上部Sが歪んでいて球面からずれていても構わない。このようにして、EL素子300から発した光が効率良く外部に取り出される。

【0040】

図6は本発明の第5実施形態の表示装置において、1画素を構成する電界発光(EL)素子を示す概略断面図である。本実施形態は、反射膜330が構成する凹面鏡の焦平面をEL素子300の内部に位置させた点でのみ第4実施形態と相違し、その他の構成は第4実施形態と同一である。このため、図6において図5と同一の部材には同一の符号を付し、詳細な説明は省略する。

40

【0041】

本実施形態において、EL層110の端面から出射した光は、透明体340の凹面鏡部分で反射されれば、ほぼ平行光束となって透明基板150から外部に取り出される。又、透明体340の裾部では境界B1、B2からの全反射光が反射されて外部の空気層に取り出されるため、外部に取り出される光量は更に増加する。

【0042】

本実施形態においても、透明体340の頂上部Sには光は殆ど到達しない。EL素子300の端面にほぼ垂直に進行する光は境界B1で全反射されずに透明基板150を透過し、空気側に取り出されている。従って、頂上部Sが歪んでいて球面からずれていても構わな

50

い。

【0043】

上記図5及び図6に示す実施形態においては、透明体340の裾部が負の曲率を有する曲面(凹曲面)で構成されているが、このような凹曲面を持たない正の曲率を有する曲面のみで形成された、つまり半球状等、球の一部を構成する形状だけで透明体が形成した場合も、上記図5及び図6に近い作用は得られる。

【0044】

図7は本発明の第6実施形態の表示装置において、1画素を構成する電界発光(EL)素子を示す概略断面図である。図7において図5と同一の部材には同一の符号を付し、詳細な説明は省略する。

10

【0045】

本実施形態は、透明基板150に溝152を設けたものである。溝152はEL素子300を充分カバーする大きさに形成される。この溝152上には、二酸化チタン( $TiO_2$ )等から成る薄い透明板151が形成されている。そして、この透明板151の上にEL素子300が形成される。従って、溝152は空隙となっている。

【0046】

本実施形態において、EL素子300より透明板151及び空隙(エアギャップ)を構成する溝152を透過して基板150に入射する光は基板150で全反射されることはない。このため、透明基板150内の全反射光が他の画素へ伝播することはないし、基板150内に光が閉じ込められることもないので、EL素子300からの光は透明体340及び反射膜330から成る反射球体によって有効に空気側に取り出される。

20

【0047】

図7においては、球体の一部を構成する透明体340を備えた例を示したが、これに代えて、図1に示したような四角錐台の透明体140を用いても良いし、円錐台状の透明体を用いることもできる。

【0048】

ところで、本発明のような表示装置において、透明基板からの光の取り出し効率を向上させるため、透明基板上に屈折率の低いシリカエアロゲル等の膜を形成することも考えられる。このような例を以下に説明する。

【0049】

図8は、透明基板211上にシリカエアロゲル膜210を形成した例を示す概略断面図である。シリカエアロゲル膜210は例えば1.03の屈折率を有する。シリカエアロゲル膜210に空中から入射する光212はシリカエアロゲル膜210と透明基板211との境界233でスネルの屈折の法則に従って屈折して光214となる。この光214は、更に透明基板211の下面234から空中へ光215となって射出する。透明基板211は自身より低い屈折率の物質で挟まれている為、透明基板211内で全反射は生じない。しかし、この場合でも、光213が境界233においてフレネル反射により正反射方向に反射され、光216が生じる。光216の強さは、光213の入射角度が透明基板211に平行に近くなるに従い増加する。

30

【0050】

図9は、上記のようにシリカエアロゲル膜210が形成された透明基板211上に電界発光(EL)素子235を形成した例を示す概略断面図である。図9において、図8と同一の部材には同一の符号を付し、詳細な説明は省略する。

40

【0051】

図9において、シリカエアロゲル膜210上に、ITO等から成る透明電極217、有機又は無機材料から成るEL層218、金属膜から成る反射電極219がこの順に積層されEL素子235が形成されている。ここで、EL層218の一点220から出た光221は、透明電極217、シリカエアロゲル膜210を透過し、シリカエアロゲル膜210と透明基板211との境界233に達する。境界233でフレネル反射を受けた光225は正反射方向にシリカエアロゲル膜210内を伝播してゆく。この伝播光は図示されてない

50

が隣接するEL素子群に入り込んで、そこで乱反射を受けて観測方向へ射出される。即ち、入り込まれたEL素子群にとっては不要なノイズ光が発生する原因となる。また、その光の発光元のEL素子にとっては、この光225は光ロスとなるので、光利用率が実質的には低下したことになる。

【0052】

図10は、上記のようなシリカエアロゲル膜を有する表示装置に本発明を適用した第7実施形態において、1画素を構成する電界発光(EL)素子を示す概略断面図である。図10において図5及び図9と同一の部材には同一の符号を付し、詳細な説明は省略する。

【0053】

本実施形態においては、シリカエアロゲル膜210はEL素子235とほぼ同じ位の大きさに形成されている。EL層218の一点226から射出した光227は、シリカエアロゲル膜210と透明基板211との境界234でフレネル反射を受け、光229となる。この光229は、透明体340の表面に形成された反射膜330で反射され、光230となって空中へ射出する。即ち、フレネル反射を受けた光は不図示の隣接するEL素子群に入り込むことがなくなる。また透明基板211内での全反射光も生じなくなる。このため、本実施形態においては、光利用率を高めることができる。

【0054】

図11は、シリカエアロゲル等から成る低屈折率光透過膜を有する表示装置に本発明を適用した第8実施形態において、1画素を構成する電界発光(EL)素子を示す概略断面図である。

【0055】

図11の実施形態は、隣接する電界発光(EL)素子間を絶縁体で埋め込んだものである。図11において符号241はEL層、符号242はITO等から成る透明電極、符号243は金属膜等から成る反射電極、符号244はシリカエアロゲル等から成る低屈折率光透過膜、符号245は反射膜、符号250及び247は金属導電体、符号246は薄膜トランジスタ(TFT)、符号249はガラス等から成る透明基板、符号248は隣接するEL素子間を埋めたポリイミドやプラスチック等から成る絶縁体をそれぞれ示す。

【0056】

図12は、図11の実施形態の表示装置における光の振る舞いを示す概略断面図である。図12において、図11と同一の部材には同一の符号を付して詳細な説明は省略する。

【0057】

図12において、EL層241の1点261から発した光のうち、光251は透明基板249の上面270に直接当たり、屈折して光252となって空中へ抜ける。一方、点261から発した光256は、透明電極242と低屈折率光透過膜244との境界で全反射され、光257となる。この光257は、斜面に形成された金属導電体250で反射して光258となって空中へ抜ける。また、点261から発したEL層241の内部を走った光259は、斜面に形成された金属導電体250で反射して光260となって空中へ抜ける。なお、隣接するEL素子の反射膜245と金属導電体250との間には、これらのつくる三角形の頂点で両者が接しないように、図示しない若干の間隙を設ける。

【0058】

ところで、本発明のような表示装置において、ホール/電子輸送層を含むEL層と透明電極(陽極)とを一对のミラーで挟み、これらのミラーの間の光路長をEL素子の発光波長と同じにする、つまりEL素子に共振器構造を導入すると、光が増幅される。このため、透明基板と透明電極との間にハーフミラーを形成すると、増幅された光を取り出すことができる。このような構成を以下に説明する。

【0059】

上記のような構成において、透明基板に垂直な方向へ射出する光強度の増大の大きさGは各ミラーの反射率、すなわち反射電極(陰極)反射率 $R_c$ 及びハーフミラー反射率 $R_h$ に依存し、例えば、月刊ディスプレイ、1998年、10月号、p.107に示されているように、以下の式で示される。

10

20

30

40

50

## 【0060】

$$G = (1 + (R_c)^{1/2})^2 \cdot (1 - R_h) / (1 - (R_c \cdot R_h)^{1/2})^2$$

ここで、 $R_c$ を90%、 $R_h$ を0%とすると、共振器構造を取らない通常の素子に比べて $G$ は3.8倍となる。さらに、たとえば、 $R_c$ を90%、 $R_h$ を85%とすると、 $G$ は $R_c$ を90%、 $R_h$ を0%としたときの9.5倍となる。

## 【0061】

尤も、 $G$ は、 $R_c$ 、 $R_h$ に応じて高くすることも低くもすることもできる。従って、このような構成を持ったものを表示装置に使用すれば、非常に明るい画面が得られる。このような表示装置を明るい場所で見ると、 $R_h$ を高くすると、背景光、室内光も反射されてディスプレイが見にくくなる。しかし、プロジェクターのように暗い場所を使用する場合には、ハーフミラーによる背景光、室内光の反射はあまり問題とはならない。そこで、EL素子とハーフミラーとを組み合わせ、透明基板に垂直な方向に射出する光を増大させ、本発明のような透明体と反射膜による光量増加分と併せて、プロジェクターによる投影画面上での照度を増大させることができる。

10

## 【0062】

図13は、上記のようなハーフミラーを設けた本発明の第9実施形態の表示装置において、1画素を構成する電界発光(EL)素子を示す概略断面図である。本実施形態は、EL素子300の透明電極120と透明基板150との間にハーフミラー160を設けた点でのみ先に説明した第1実施形態と相違し、その他の構成は第1実施形態と全く同一である。そのため、図13において、図1と同一の部材には同一の符号を付し、詳細な説明は省略する。

20

## 【0063】

本実施形態において、反射電極100とハーフミラー160との間の光路長を、EL素子300の発光波長の1/2と等しくなるように構成している。したがって、これらが共振器を構成し、より強度の強い光を取り出すことができる。なお、本実施形態においても、境界B1及びB2で全反射された光が反射膜130で透明基板150を通して射出され、光の利用効率を向上させる効果を有する点は第1実施形態と同様である。

## 【0064】

図14は、ハーフミラーを設けた本発明の第10実施形態の表示装置において、1画素を構成する電界発光(EL)素子を示す概略断面図である。本実施形態は、EL素子300の透明電極120と透明基板150との間にハーフミラー160を設けた点でのみ先に説明した第4実施形態と相違し、その他の構成は第4実施形態と全く同一である。そのため、図14において、図5と同一の部材には同一の符号を付し、詳細な説明は省略する。

30

## 【0065】

本実施形態において、反射電極100とハーフミラー160との間の光路長を、EL素子300の発光波長の1/2と等しくなるように構成している。したがって、これらが共振器を構成し、より強度の強い光を取り出すことができる。なお、本実施形態においても、境界B1及びB2で全反射された光が反射膜330で透明基板150を通して射出され、光の利用効率を向上させる効果を有する点は第4実施形態と同様である。

## 【0066】

上記のような第9及び第10実施形態は、先に述べたような理由により、特にプロジェクターに応用するのに適している。このようなプロジェクターは、例えば図15のように構成される。図15において、符号400は、図13あるいは図14に示したようなEL素子から成る表示装置を示す。この表示装置400の画面は、投影レンズ401によって、投影像面402に投影される。これによって、従来に比べて各段に明るい投影像が得られる。

40

## 【0067】

図13及び図14において、ハーフミラー160は、たとえば、 $TiO_2$ 層/ $SiO_2$ 層/ $TiO_2$ 層/ $SiO_2$ 層の4層から構成される。ここで、各層の光路長はEL素子から発する光の中心波長をとしたとき、それぞれ/4である。上記の構成においては、 $SiO_2$

50

2層側を透明基板150上に堆積させるようにすればよい。

【0068】

又、上記のハーフミラー160として、一般的に知られたTiO<sub>2</sub>層/SiO<sub>2</sub>層のペアが複数組繰り返し積層された構造のものを用いても良い。この場合、SiO<sub>2</sub>層が透明基板150側にくるように堆積される。

【0069】

図17(a)は、上記のようにTiO<sub>2</sub>層/SiO<sub>2</sub>層のペアが4組構造された8層構造のハーフミラー膜構成の一例を示す概略断面図である。図17(a)において、ITOと記載した層は、図13あるいは図14における透明電極120に対応する。また、同じくGと記載したガラス基板は、図13あるいは図14における透明基板150に対応する。

10

【0070】

図17(b)は、上述した8層構造のハーフミラーの垂直入射に対する反射率のグラフである。

【0071】

更に、図18～図22に上述した8層構造のハーフミラーのさまざまな反射特性を示す。図18において、(a)は、波長400nmから700nmの範囲で、入射角30度の範囲における、上述した8層構造のハーフミラーのS偏光の反射率のグラフである。また、(b)は、波長400nmから700nmの範囲で、入射角30度の範囲における、上述した8層構造のハーフミラーのP偏光の反射率のグラフである。更に(c)は、波長400nmから700nmの範囲で、入射角30度の範囲における、上述した8層構造のハーフミラーの平均反射率、すなわち(S偏光反射率+P偏光反射率)/2の値を示すグラフである。

20

【0072】

図19は、入射角0°における、上述した8層構造のハーフミラーの反射率、透過率、及び反射波・透過波の位相を示す表である。また、図20は、波長400nmから700nmの範囲で、入射角30度の範囲における、上述した8層構造のハーフミラーのS偏光の反射率の表である。一方、図21は、波長400nmから700nmの範囲で、入射角30度の範囲における、上述した8層構造のハーフミラーのP偏光の反射率の表である。更に、図22は、波長400nmから700nmの範囲で、入射角30度の範囲における、上述した8層構造のハーフミラーの平均反射率、すなわち(S偏光反射率+P偏光反射率)/2の値を示す表である。

30

【0073】

このように、上述した8層構造のハーフミラーの反射率は、入射角30度の範囲内においては、可視光の範囲ではほぼ一定で50%となっている。R<sub>c</sub>が90%、R<sub>h</sub>が50%であるときは、光の強度的増大Gは上述したGを求める式によれば共振機構構造を取らない通常の素子に比べてGが1.7倍となる。従って、このハーフミラーを備えた表示装置をプロジェクターに用いると、NA=sin30°、すなわちFナンバー1までのレンズの開口いっぱいまで使ったとすると、像面における光量は1.7倍増大する。

【0074】

なお、図13及び図14の実施形態においては、先に説明した4層又は8層構成から成るハーフミラー160と反射電極100との間の光路長をEL素子の発光波長の1/2に等しくしたが、発光波長の1/2の整数倍であってもよい。

40

【0075】

又、陰極すなわち反射電極100はアルミニウム(Al)等の金属物質であるため、EL層110からの光はもとより、観測方向からの外部光も反射する。しかし、外部光が反射されると表示装置のコントラストが低下する。従って、外部光の反射を無くすか低減しなければならない。外部光の反射を低減するために、陰極を2層構造とし、EL発光層110側を光吸収層とし、もう1層をAl等の電極層とすることが特開平8-8065号公報に開示されている。

【0076】

50

図23は、上記のような光吸収層を設けた本発明の第11実施形態の表示装置において、1画素を構成する電界発光(EL)素子を示す概略断面図である。本実施形態は、EL素子300のEL層110と反射電極100との間に光吸収層100aを設けた点でのみ先に説明した第9実施形態と相違し、その他の構成は第9実施形態と全く同一である。そのため、図23において、図13と同一の部材には同一の符号を付し、詳細な説明は省略する。

#### 【0077】

本実施形態においては、EL層側の光吸収層100aの屈折率をEL層110の屈折率より低くすることにより、光吸収層100aとEL層110との界面で全反射を生じさせる。このようにすれば、全反射によって再びEL層内に戻って、反射膜130で反射されるので、表示装置からの光量が増加する。

10

#### 【0078】

本実施形態において、EL層110が例えばアルミ・キノリノール(alq)から形成された場合、その屈折率は1.73程度である。このため、光吸収層100aはたとえば屈折率1.70のMgOから形成されるのが好ましい。EL層110に電子輸送層が設けられている場合には、光吸収層100aの屈折率をその電子輸送層の屈折率より低くすれば良い。

#### 【0079】

図23において、EL層110から発した光1003は光吸収層100aとEL層110の界面で全反射されて光1004となり、更に、反射膜130で反射されて光1005となり、表示装置の外部に出射する。

20

#### 【0080】

図24は、光吸収層を設けた本発明の第12実施形態の表示装置において、1画素を構成する電界発光(EL)素子を示す概略断面図である。本実施形態は、EL素子300のEL層110と反射電極100との間に光吸収層100aを設けた点でのみ先に説明した第10実施形態と相違し、その他の構成は第10実施形態と全く同一である。そのため、図24において、図14と同一の部材には同一の符号を付し、詳細な説明は省略する。

#### 【0081】

本実施形態において、光吸収層100aを形成するのに好ましい材料は第11実施形態と同様である。図24において、EL層110から発した光1003は光吸収層100aとEL層110の界面で全反射されて光1004となり、更に、反射膜330で反射されて光1005となり、表示装置の外部に出射する。

30

#### 【0082】

#### 【発明の効果】

以上説明した本発明によれば、透明体を形成したあとで、EL素子を外気から遮断する保護膜を形成する必要がない。又、透明体上に反射膜を形成する際、反射膜がEL層をサンドイッチする透明電極や反射電極と接触しないように製造工程を工夫する必要もない。そのため、工程が簡単で安価に製造することができる。また、本発明においては、透明体がEL素子を外気から保護するとともに、透明体表面の反射膜によってEL層において発光した光を効率良く外部に取り出すことができる。

40

#### 【図面の簡単な説明】

【図1】本発明の第1実施形態の表示装置において、1画素を構成する電界発光素子を示す概略断面図である。

【図2】図1に示す表示装置の製造工程を説明するための概略断面図である。

【図3】本発明の第2実施形態の表示装置において、1画素を構成する電界発光素子を示す概略断面図である。

【図4】図4は本発明の第3実施形態の表示装置を示す図である。

【図5】本発明の第4実施形態の表示装置において、1画素を構成する電界発光素子を示す概略断面図である。

【図6】本発明の第5実施形態の表示装置において、1画素を構成する電界発光素子を示

50

す概略断面図である。

【図 7】本発明の第 6 実施形態の表示装置において、1 画素を構成する電界発光素子を示す概略断面図である。

【図 8】透明基板上にシリカエアロゲル膜を形成した例を示す概略断面図である。

【図 9】シリカエアロゲル膜が形成された透明基板上に電界発光素子を形成した例を示す概略断面図である。

【図 10】シリカエアロゲル膜を有する表示装置に本発明を適用した第 7 実施形態において、1 画素を構成する電界発光素子を示す概略断面図である。

【図 11】低屈折率光透過膜を有する表示装置に本発明を適用した第 8 実施形態において、1 画素を構成する電界発光素子を示す概略断面図である。

10

【図 12】図 11 に示した表示装置における光の振る舞いを説明するための概略断面図である。

【図 13】ハーフミラーを設けた本発明の第 9 実施形態の表示装置において、1 画素を構成する電界発光素子を示す概略断面図である。

【図 14】ハーフミラーを設けた本発明の第 10 実施形態の表示装置において、1 画素を構成する電界発光素子を示す概略断面図である。

【図 15】図 13 あるいは図 14 に示した表示装置を用いたプロジェクターの概念図である。

【図 16】従来の EL 素子の一例を示す概略断面図である。

【図 17】8 層構造のハーフミラー膜構成の一例を示す概略断面図及び反射率のグラフである。

20

【図 18】8 層構造のハーフミラーの反射率のグラフである。

【図 19】8 層構造のハーフミラーの反射率、透過率、及び反射波・透過波の位相を示す表である。

【図 20】8 層構造のハーフミラーの S 偏光の反射率の表である。

【図 21】8 層構造のハーフミラーの P 偏光の反射率の表である。

【図 22】8 層構造のハーフミラーの平均反射率を示す表である。

【図 23】光吸収層を設けた本発明の第 11 実施形態の表示装置において、1 画素を構成する電界発光素子を示す概略断面図である。

【図 24】光吸収層を設けた本発明の第 12 実施形態の表示装置において、1 画素を構成する電界発光素子を示す概略断面図である。

30

【図 25】従来の EL 素子の他の例を示す概略断面図である。

【符号の説明】

100 反射電極

100a 光吸収層

110 EL 層

120 透明電極

130、330 反射膜

140、340 透明体

150 透明基板

160 ハーフミラー

400 駆動素子

700 列方向配線

800 絶縁体

900 行方向配線

B1 透明電極と透明基板との境界

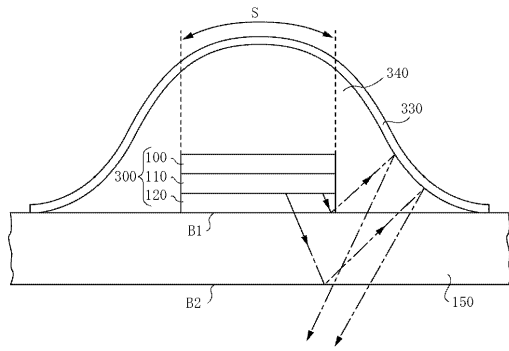
B2 透明基板と空気との境界

S 透明体の頂上部

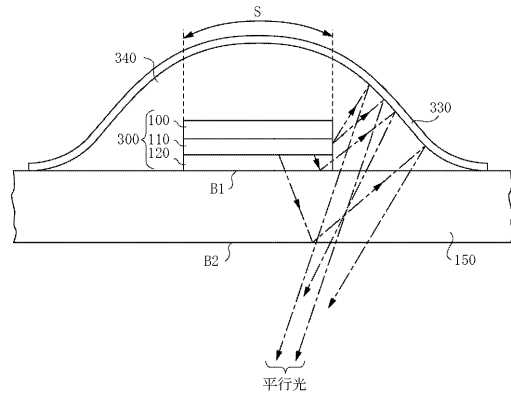
40



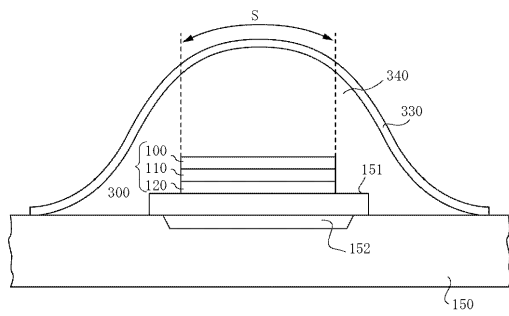
【 図 5 】



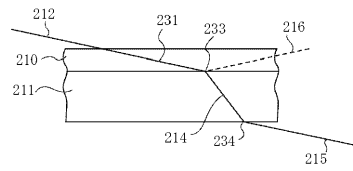
【 図 6 】



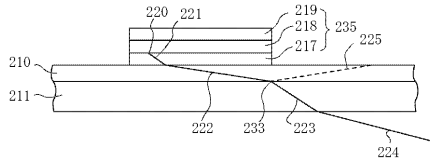
【 図 7 】



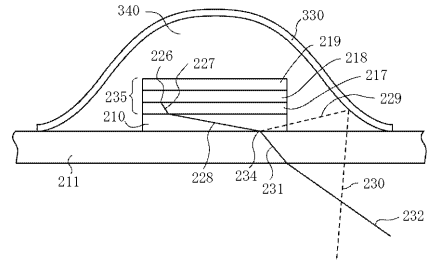
【 図 8 】



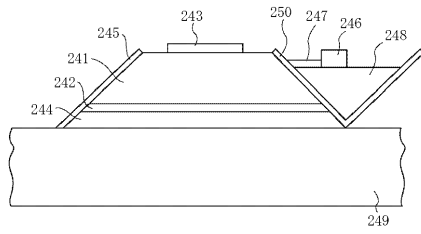
【 図 9 】



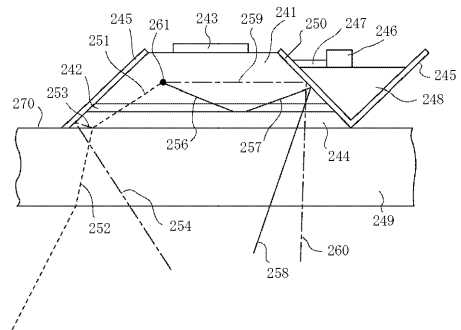
【 図 10 】



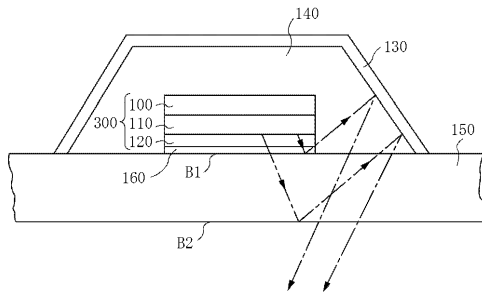
【 図 11 】



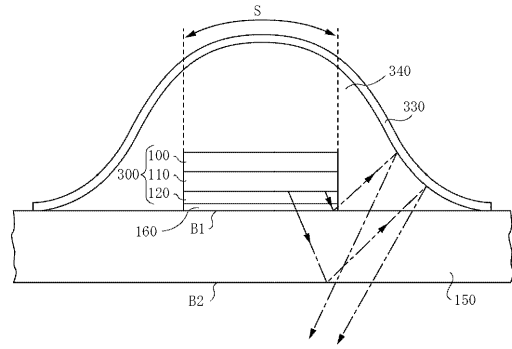
【 図 12 】



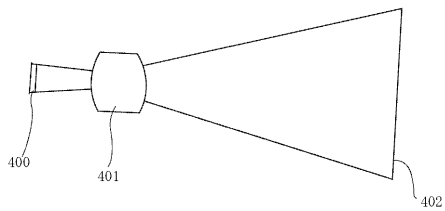
【 図 1 3 】



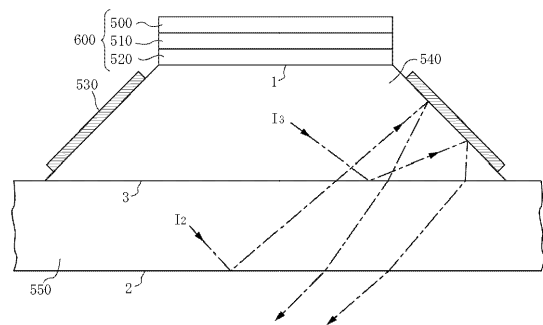
【 図 1 4 】



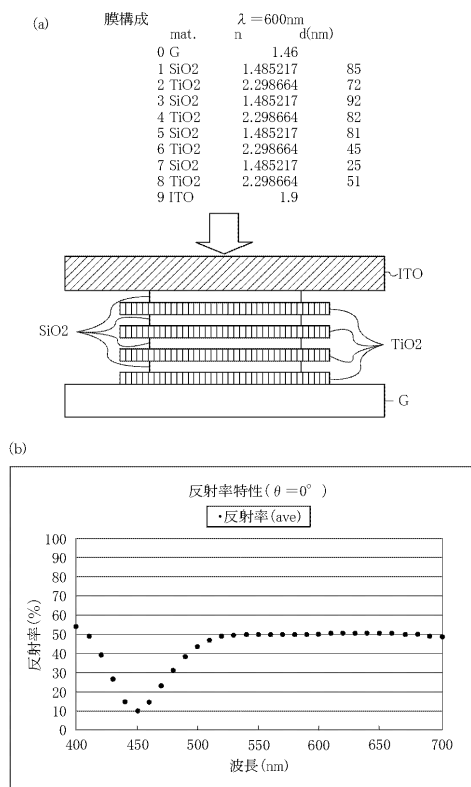
【 図 1 5 】



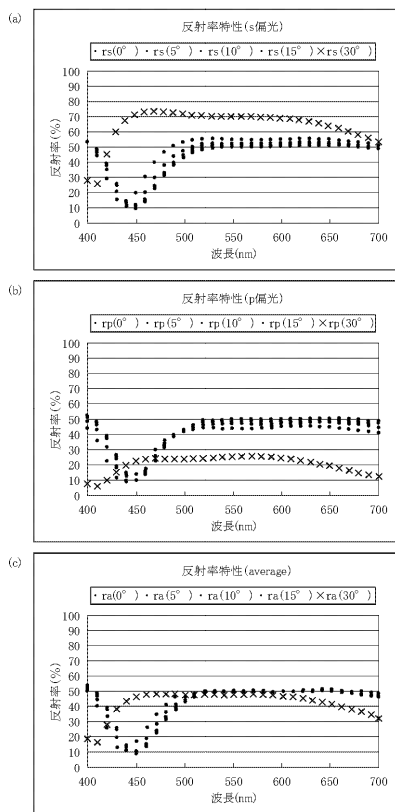
【 図 1 6 】



【 図 17 】



【 図 18 】



【 図 19 】

theta	rs(0°)	rs(5°)	rs(10°)	rs(15°)	rs(20°)	rs(25°)	rs(30°)	rp(0°)	rp(5°)	rp(10°)	rp(15°)	rp(20°)	rp(25°)	rp(30°)	ra(ave)
0	53.08212	53.08212	46.91788	46.91788	46.91788	46.91788	46.91788	111.147	111.147	185.682	185.682	185.682	185.682	185.682	111.147
400	48.17657	48.17657	41.7657	41.7657	41.7657	41.7657	41.7657	142.852	142.852	199.928	199.928	199.928	199.928	199.928	142.852
410	39.00835	39.00835	33.00835	33.00835	33.00835	33.00835	33.00835	171.521	171.521	227.604	227.604	227.604	227.604	227.604	171.521
420	28.21536	28.21536	23.21536	23.21536	23.21536	23.21536	23.21536	199.797	199.797	272.908	272.908	272.908	272.908	272.908	199.797
430	14.30588	14.30588	11.30588	11.30588	11.30588	11.30588	11.30588	228.568	228.568	333.856	333.856	333.856	333.856	333.856	228.568
440	9.693069	9.693069	7.693069	7.693069	7.693069	7.693069	7.693069	256.921	256.921	383.734	383.734	383.734	383.734	383.734	256.921
450	6.93069	6.93069	5.43069	5.43069	5.43069	5.43069	5.43069	283.124	283.124	433.597	433.597	433.597	433.597	433.597	283.124
460	5.13896	5.13896	3.896	3.896	3.896	3.896	3.896	306.185	306.185	483.460	483.460	483.460	483.460	483.460	306.185
470	4.245843	4.245843	3.1557	3.1557	3.1557	3.1557	3.1557	329.221	329.221	533.323	533.323	533.323	533.323	533.323	329.221
480	3.71265	3.71265	2.79265	2.79265	2.79265	2.79265	2.79265	343.856	343.856	583.186	583.186	583.186	583.186	583.186	343.856
490	3.21265	3.21265	2.39265	2.39265	2.39265	2.39265	2.39265	359.734	359.734	633.049	633.049	633.049	633.049	633.049	359.734
500	2.76884	2.76884	2.06884	2.06884	2.06884	2.06884	2.06884	375.734	375.734	682.912	682.912	682.912	682.912	682.912	375.734
510	2.36884	2.36884	1.76884	1.76884	1.76884	1.76884	1.76884	391.734	391.734	732.775	732.775	732.775	732.775	732.775	391.734
520	2.01265	2.01265	1.51265	1.51265	1.51265	1.51265	1.51265	407.734	407.734	782.638	782.638	782.638	782.638	782.638	407.734
530	1.71265	1.71265	1.265	1.265	1.265	1.265	1.265	423.734	423.734	832.501	832.501	832.501	832.501	832.501	423.734
540	1.46912	1.46912	1.06912	1.06912	1.06912	1.06912	1.06912	439.734	439.734	882.364	882.364	882.364	882.364	882.364	439.734
550	1.265	1.265	0.965	0.965	0.965	0.965	0.965	455.734	455.734	932.227	932.227	932.227	932.227	932.227	455.734
560	1.06912	1.06912	0.76912	0.76912	0.76912	0.76912	0.76912	471.734	471.734	982.090	982.090	982.090	982.090	982.090	471.734
570	0.965	0.965	0.665	0.665	0.665	0.665	0.665	487.734	487.734	1031.953	1031.953	1031.953	1031.953	1031.953	487.734
580	0.861	0.861	0.561	0.561	0.561	0.561	0.561	503.734	503.734	1081.816	1081.816	1081.816	1081.816	1081.816	503.734
590	0.757	0.757	0.457	0.457	0.457	0.457	0.457	519.734	519.734	1131.679	1131.679	1131.679	1131.679	1131.679	519.734
600	0.653	0.653	0.353	0.353	0.353	0.353	0.353	535.734	535.734	1181.542	1181.542	1181.542	1181.542	1181.542	535.734
610	0.549	0.549	0.249	0.249	0.249	0.249	0.249	551.734	551.734	1231.405	1231.405	1231.405	1231.405	1231.405	551.734
620	0.445	0.445	0.145	0.145	0.145	0.145	0.145	567.734	567.734	1281.268	1281.268	1281.268	1281.268	1281.268	567.734
630	0.341	0.341	0.041	0.041	0.041	0.041	0.041	583.734	583.734	1331.131	1331.131	1331.131	1331.131	1331.131	583.734
640	0.237	0.237	0.037	0.037	0.037	0.037	0.037	599.734	599.734	1381.094	1381.094	1381.094	1381.094	1381.094	599.734
650	0.133	0.133	0.033	0.033	0.033	0.033	0.033	615.734	615.734	1431.057	1431.057	1431.057	1431.057	1431.057	615.734
660	0.029	0.029	0.029	0.029	0.029	0.029	0.029	631.734	631.734	1481.020	1481.020	1481.020	1481.020	1481.020	631.734
670	0.025	0.025	0.025	0.025	0.025	0.025	0.025	647.734	647.734	1531.020	1531.020	1531.020	1531.020	1531.020	647.734
680	0.021	0.021	0.021	0.021	0.021	0.021	0.021	663.734	663.734	1581.020	1581.020	1581.020	1581.020	1581.020	663.734
690	0.017	0.017	0.017	0.017	0.017	0.017	0.017	679.734	679.734	1631.020	1631.020	1631.020	1631.020	1631.020	679.734
700	0.013	0.013	0.013	0.013	0.013	0.013	0.013	695.734	695.734	1681.020	1681.020	1681.020	1681.020	1681.020	695.734

【 図 20 】

theta	rs(0°)	rs(5°)	rs(10°)	rs(15°)	rs(20°)	rs(25°)	rs(30°)	rp(0°)	rp(5°)	rp(10°)	rp(15°)	rp(20°)	rp(25°)	rp(30°)	ra(ave)
0	53.08212	53.08212	46.91788	46.91788	46.91788	46.91788	46.91788	111.147	111.147	185.682	185.682	185.682	185.682	185.682	111.147
400	48.17657	48.17657	41.7657	41.7657	41.7657	41.7657	41.7657	142.852	142.852	199.928	199.928	199.928	199.928	199.928	142.852
410	39.00835	39.00835	33.00835	33.00835	33.00835	33.00835	33.00835	171.521	171.521	227.604	227.604	227.604	227.604	227.604	171.521
420	28.21536	28.21536	23.21536	23.21536	23.21536	23.21536	23.21536	199.797	199.797	272.908	272.908	272.908	272.908	272.908	199.797
430	14.30588	14.30588	11.30588	11.30588	11.30588	11.30588	11.30588	228.568	228.568	333.856	333.856	333.856	333.856	333.856	228.568
440	9.693069	9.693069	7.693069	7.693069	7.693069	7.693069	7.693069	256.921	256.921	383.734	383.734	383.734	383.734	383.734	256.921
450	6.93069	6.93069	5.43069	5.43069	5.43069	5.43069	5.43069	283.124	283.124	433.597	433.597	433.597	433.597	433.597	283.124
460	5.13896	5.13896	3.896	3.896	3.896	3.896	3.896	306.185	306.185	483.460	483.460	483.460	483.460	483.460	306.185
470	4.245843	4.245843	3.1557	3.1557	3.1557	3.1557	3.1557	329.221	329.221	533.323	533.323	533.323	533.323	533.323	329.221
480	3.71265	3.71265	2.79265	2.79265	2.79265	2.79265	2.79265	343.856	343.856	583.186	583.186	583.186	583.186	583.186	343.856
490	3.21265	3.21265	2.39265	2.39265	2.39265	2.39265	2.39265	359.734	359.734	633.049	633.049	633.049	633.049	633.049	359.734
500	2.76884	2.76884	2.06884	2.06884	2.06884	2.06884	2.06884	375.734	375.734	682.912	682.912	682.912	682.912	682.912	375.734
510	2.36884	2.36884	1.76884	1.76884	1.76884	1.76884	1.76884	391.734	391.734	732.775	732.775	732.775	732.775	732.775	391.734
520	2.01265	2.01265	1.51265	1.51265	1.51265	1.51265	1.51265	407.734	407.734	782.638	782.638	782.638	782.638	782.638	407.734
530	1.71265	1.71265	1.265	1.265	1.265	1.265	1.265	423.734	423.734	832.501	832.501	832.501	832.501	832.501	423.734
540	1.46912	1.46912	1.06912	1.06912	1.06912	1.06912	1.06912	439.734	439.734	882.364	882.364	882.364	882.364	882.364	439.734
550	1.265	1.265	0.965	0.965	0.965	0.965	0.965	455.734	455.734	932.227	932.227	932.227	932.227	932.227	455.734
560	1.06912	1.06912	0.76912	0.76912	0.76912	0.76912	0.76912	471.734	471.734	982.090	982.090	982.090	982.090	982.090	471.734
570	0.965	0.965	0.665	0.665	0.665	0.665	0.665	487.734	487.734	1031.953	1031.953	1031.953	1031.953	1031.953	487.734
580	0.861	0.861	0.561	0.561	0.561	0.561	0.561	503.734	503.734	1081.816	1081.816	1081.816	1081.816	1081.816	503.734
590	0.757	0.757	0.457	0.457	0.457	0.457	0.457	519.734	519.734	1131.679	1131.679	1131.679	1131.679	1131.679	519.734
600	0.653	0.653	0.353	0.353	0.353	0.353	0.353	535.734	535.734	1181.542	1181.542	1181.542	1181.542	1181.542	535.734
610	0.549	0.549	0.249	0.249	0.249	0.249	0.249	551.734	551.734	1231.405	1231.405	1231.405	1231.405	1231.405	551.734
620	0.445	0.445	0.145	0.145	0.145	0.145	0.145	567.734	567.734	1281.268	1281.268	1281.268	1281.268	1281.268	567.734
630	0.341	0.341	0.041	0.041											

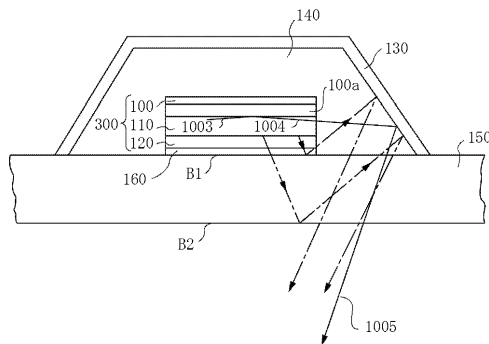
【図 2 1】

theta	0	5	10	15	20	25	30
wl	rp(0°)	rp(5°)	rp(10°)	rp(15°)	rp(20°)	rp(25°)	rp(30°)
400	53.08212	52.41265	50.11352	45.19735	35.91914	21.38051	7.714678
410	48.17657	47.0462	43.25155	35.67732	23.52558	10.47469	6.09405
420	39.00835	37.32218	31.98673	22.77523	12.0694	7.138141	10.295
430	26.21536	24.31187	18.8981	11.84362	8.091181	11.22493	15.63376
440	14.30588	13.04836	10.26356	8.979772	12.20714	17.95092	19.73183
450	9.693069	9.706433	10.6241	14.08498	19.74767	23.95304	22.1791
460	13.8806	14.77373	17.64994	22.30504	26.88842	28.21266	23.30821
470	22.45843	23.49275	26.33542	29.93909	32.27244	30.82653	23.60357
480	31.06662	31.84632	33.79384	35.73271	35.86257	32.20508	23.49964
490	37.91265	38.35183	39.29464	39.68754	38.02603	32.77816	23.31682
500	42.79684	42.93243	43.01936	42.17475	39.17749	32.90971	23.24601
510	46.04912	45.94468	45.36773	43.59799	39.67931	32.87423	23.36023
520	48.07543	47.79115	46.72505	44.30494	39.82129	32.85165	23.64426
530	49.23057	48.81779	47.41154	44.57511	39.81848	32.93333	24.03153
540	49.80049	49.30242	47.68153	44.62272	39.81271	33.13805	24.43688
550	50.00978	49.46244	47.73026	44.60017	39.87867	33.43479	24.77926
560	50.02995	49.46219	47.69869	44.60206	40.03564	33.76629	24.99371
570	49.98419	49.41716	47.67725	44.67203	40.26349	34.0683	25.03518
580	49.95105	49.39789	47.71136	44.81339	40.51962	34.28204	24.87747
590	49.96959	49.4358	47.80098	45.00217	40.75334	34.36063	24.51025
600	50.04673	49.53148	47.95609	45.19974	40.9159	34.27074	23.93544
610	50.16668	49.66448	48.11768	45.3632	40.96618	33.9918	23.16418
620	50.30027	49.80294	48.25693	45.45234	40.8728	33.51408	22.2142
630	50.41309	49.91129	48.33689	45.43338	40.61411	32.83644	21.10787
640	50.47114	49.95562	48.32522	45.28025	40.17702	31.96444	19.87064
650	50.44449	49.90677	48.19603	44.97455	39.55558	30.90882	18.52991
660	50.30878	49.74154	47.93003	44.50458	38.74951	29.68432	17.11396
670	50.04538	49.44257	47.51391	43.8641	37.76299	28.30877	15.65106
680	49.64119	48.99798	46.93955	43.05153	36.60391	26.80261	14.1688
690	49.0876	48.4003	46.20294	42.06877	35.28305	25.18815	12.69317
700	48.37985	47.64581	45.3035	40.92075	33.81384	23.48918	11.24807

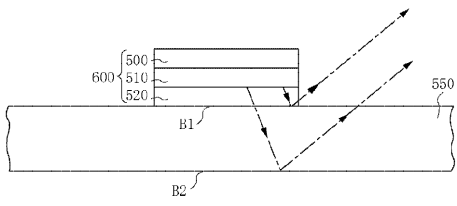
【図 2 2】

theta	0	5	10	15	20	25	30
wl	ra(0°)	ra(5°)	ra(10°)	ra(15°)	ra(20°)	ra(25°)	ra(30°)
400	53.08212	52.90377	52.11843	49.84207	44.30421	33.21989	17.9874
410	48.17657	47.5384	45.2314	40.05782	30.38105	17.26997	16.056
420	39.00835	37.77521	33.71342	26.09809	16.01261	12.6568	27.7809
430	26.21536	24.64979	20.04822	13.70689	11.20038	21.12412	37.56531
440	14.30588	13.24112	10.93139	10.67737	17.66133	31.65583	43.38432
450	9.693069	9.874841	11.47822	17.05717	27.69186	39.45311	46.45974
460	13.8806	15.06241	19.0995	26.58057	36.20309	44.3854	47.82233
470	22.45843	23.92146	28.28045	34.96535	42.15589	47.21139	48.16788
480	31.06662	32.36507	36.00905	41.08771	45.93428	48.62288	47.97648
490	37.91265	38.91422	41.62603	45.15622	48.12948	49.1419	47.58346
500	42.79684	43.51183	45.38926	47.66336	49.24671	49.15505	47.20951
510	46.04912	46.52845	47.74164	49.06681	49.67771	48.94506	46.97491
520	48.07543	48.37368	49.08793	49.73411	49.72024	48.70591	46.91465
530	49.23057	49.39653	49.75572	49.95092	49.5942	48.55107	47.00091
540	49.80049	49.87589	50.00175	49.93394	49.44944	48.52372	47.16988
550	50.00978	50.02954	50.02233	49.83873	49.37168	48.61311	47.34652
560	50.02995	50.02208	49.95967	49.76445	49.39162	48.77482	47.46174
570	49.98419	49.96933	49.90597	49.75997	49.49842	48.94995	47.46103
580	49.95105	49.94226	49.90863	49.83334	49.65527	49.07957	47.30635
590	49.96959	49.97277	49.97843	49.96402	49.81396	49.1132	46.97448
600	50.04673	50.0618	50.09971	50.11525	49.92568	49.01204	46.45381
610	50.16668	50.18918	50.24123	50.24471	49.94756	48.74909	45.74126
620	50.30027	50.32318	50.36545	50.31175	49.84555	48.30748	44.8396
630	50.41309	50.42827	50.43529	50.28161	49.59476	47.67836	43.75552
640	50.47114	50.47048	50.41805	50.12682	49.17843	46.85894	42.49826
650	50.44449	50.42056	50.2873	49.82738	48.58661	45.85097	41.07873
660	50.30878	50.25518	50.02316	49.36976	47.81466	44.65958	39.50894
670	50.04538	49.95682	49.61159	48.74578	46.86198	43.29243	37.80165
680	49.64119	49.51344	49.04371	47.95167	45.73135	41.75951	35.97038
690	49.0876	48.91739	48.31467	46.98698	44.42803	40.07255	34.0292
700	48.37985	48.16473	47.42298	45.8541	42.95967	38.24515	31.99305

【図 2 3】



【 図 2 5 】



## フロントページの続き

(51) Int.Cl. F I  
H 0 5 B 33/22 (2006.01) H 0 5 B 33/22 A  
H 0 5 B 33/24 (2006.01) H 0 5 B 33/22 Z  
H 0 5 B 33/24

(31)優先権主張番号 特願2001-189722(P2001-189722)

(32)優先日 平成13年6月22日(2001.6.22)

(33)優先権主張国 日本国(JP)

(72)発明者 徳田 隆二

東京都大田区下丸子3丁目30番2号キヤノン株式会社内

(72)発明者 瀬谷 通隆

東京都大田区下丸子3丁目30番2号キヤノン株式会社内

(72)発明者 星光

東京都大田区下丸子3丁目30番2号キヤノン株式会社内

審査官 里村 利光

(56)参考文献 特開平10-275680(JP,A)

特開平07-192867(JP,A)

国際公開第00/57239(WO,A1)

特開平08-8065(JP,A)

(58)調査した分野(Int.Cl., DB名)

H01L51/00-51/56、H01L27/32

H05B33/00-33/28

专利名称(译)	表示装置		
公开(公告)号	<a href="#">JP3880356B2</a>	公开(公告)日	2007-02-14
申请号	JP2001306539	申请日	2001-10-02
[标]申请(专利权)人(译)	佳能株式会社		
申请(专利权)人(译)	佳能公司		
当前申请(专利权)人(译)	佳能公司		
[标]发明人	望月則孝 桜永昌徳 徳田隆二 瀬谷通隆 星光		
发明人	望月 則孝 桜永 昌徳 徳田 隆二 瀬谷 通隆 星 光		
IPC分类号	H05B33/02 G09F9/30 H01L27/32 H05B33/04 H01L51/50 H05B33/22 H05B33/24 H01L51/52 H05B33/00		
CPC分类号	H01L51/5262 H01L51/5253 H05B33/00		
FI分类号	H05B33/02 G09F9/30.338 G09F9/30.365.Z H05B33/04 H05B33/14.A H05B33/22.A H05B33/22.Z H05B33/24 G09F9/30.365 H01L27/32		
F-TERM分类号	3K007/AB02 3K007/AB03 3K007/AB17 3K007/AB18 3K007/BA06 3K007/BB02 3K007/BB06 3K007/BB07 3K007/CA01 3K007/CA05 3K007/CB01 3K007/CB04 3K007/CC01 3K007/EB00 3K007/FA02 3K107/AA01 3K107/BB01 3K107/CC05 3K107/CC23 3K107/CC45 3K107/DD02 3K107/DD10 3K107/DD39 3K107/DD74 3K107/EE03 3K107/EE27 3K107/EE28 3K107/EE33 3K107/EE46 3K107/FF06 3K107/FF15 5C094/AA10 5C094/AA31 5C094/AA43 5C094/AA44 5C094/BA03 5C094/BA27 5C094/CA19 5C094/DA07 5C094/DA09 5C094/DA13 5C094/DB01 5C094/DB04 5C094/EA04 5C094/EA05 5C094/EA06 5C094/EB02 5C094/ED11 5C094/ED20 5C094/FA04 5C094/GB10 5C094/JA01		
代理人(译)	雄一Uchio		
优先权	2000370647 2000-12-05 JP 2000398283 2000-12-27 JP 2001062055 2001-03-06 JP 2001189722 2001-06-22 JP		
其他公开文献	JP2003077649A		
外部链接	<a href="#">Espacenet</a>		

#### 摘要(译)

要解决的问题：将从显示装置的EL层发出的光高效地提取到外部，并保护包括EL层的夹层结构不接触外部空气。解决方案：EL元件覆盖有透明体以保护EL元件，并且在透明体的表面上，透明电极和透明基板之间的边界处，或者在透明基板和外部空气之间的边界处提供反射膜。反射光被反射膜反射并被取出到外面。

